

Voronoi-Diagramme & Delannay-Triangulation

Grundidee: geben eine Menge Objekte im Raum (z.B. Bkts); jedes Objekt übt eine "Einfluss" auf alle Bkts im Raum aus, abhängig von der Distanz; wie sieht das Gebiet des Raumes aus, in dem ein Objekt den größten Einfluss hat? wie sehen alle diese Gebiete für alle Objekte "im Ensemble" aus?

Dieses Konzept ist so allgemein und kommt in unterschiedlicher Form in so vielen Bereichen vor, daß es auch sehr viele versch. Namen dafür gibt:

Voronoi-Diagramme (hat sich durchgesetzt), Dirichlet-Tessellation, Thiessen-Zone (Kartographie / Geographie), Wiegner-Litsch-Regionen (Chemie / Kristallographie)

Beispiel-Fragestellung:

Gegeben eine Supermarkt-Kette mit einigen Filialen verteilt im Land. Nun soll eine weitere Filiale eröffnet werden.

Frage: wo muß diese platziert werden, damit sie den größtmöglichen Einzugsbereich hat?

Nächste Frage: wie groß ist nun der Einzugsbereich ~~aller~~ jeder der Filialen? (von einiger alter Filialen wird ja durch die neue etwas "weggenommen"); Hintergrund: ist eine der Filialen evtl nicht mehr profitabel (hier: Profit = Einnahme des Einzugsgebietes)

Nächste Frage: wie muß man alle Filialen verschieben, so daß alle ungefähr ein gleich großes Einzugsgebiet haben? (\Rightarrow CVD = centroidal voronoi diagram)

Beschriftung:

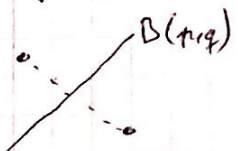
1. $d(p, q) = \|p - q\|$; (jede andere Metrik geht auch!) [R. Klein, Kap 5]
2. $\overline{R} = \text{Abbildung einer offenen Region } R \subseteq \mathbb{R}^d$.

Definition:

Gegeben zwei Pkte p, q .

Der Bisektor zwischen p und q ist

$$B(p, q) := \{x \mid d(x, p) = d(x, q)\}$$



Offensichtlich ist $B(p, q)$ genau die Mittelsenkrechte auf \overline{pq} .

Der Bisektor zerlegt den Raum in 2 offene Halbraeume

$$H(p, q) := \{x \mid d(x, p) < d(x, q)\}$$

$$H(q, p) := \{x \mid d(x, q) < d(x, p)\}$$

Definition:

Gegeben eine Menge Pkte S .

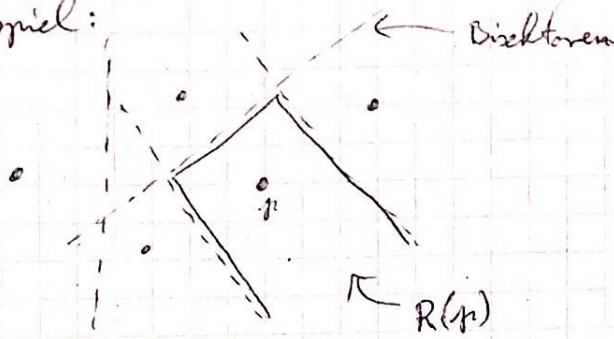
Sei $p \in S$; dann ist die "Voronoi-Region von p bzgl. S "

$$R(p) := \bigcap_{p_i \in S \setminus \{p\}} H(p, p_i).$$

Das "Voronoi-Diagramm von S " ist definiert als

$$V(S) := \bigcup_{\substack{p, q \in S \\ p \neq q}} R(p) \cap R(q)$$

Beispiel:

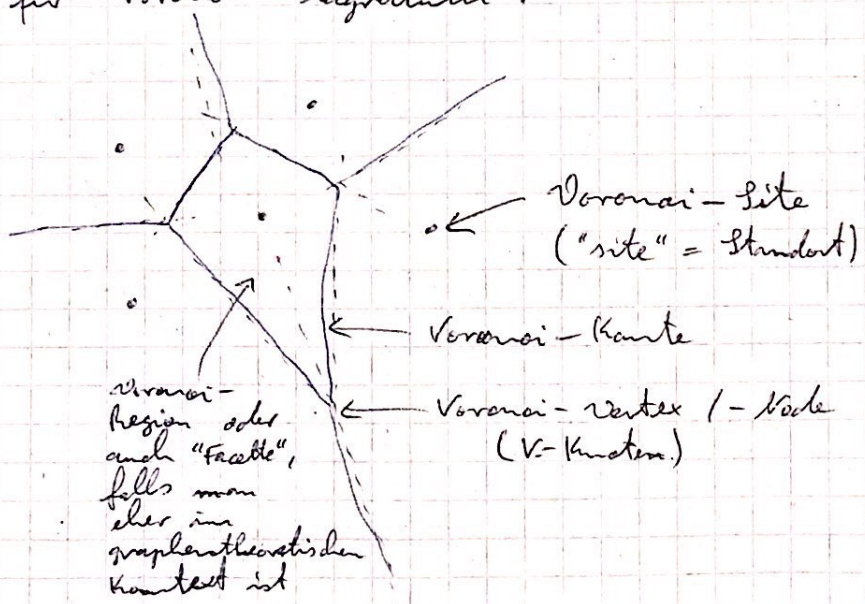


Diese Region ist unbeschränkt
und offen

Einfache Eigenschaften der Voronoi-Regionen:

- $\forall p \in S : R(p)$ ist konvex (der Schnitt von (konvexen) Halbträumen)
- $R(p) \cap R(q) \subseteq \overline{H(p,q)} \cap \overline{H(q,p)} = B(p,q)$
- Nur ein zusätzl. hängendes Stück von $B(p,q)$ ist am Rand von $R(q)$ beteiligt (if at all), dies heißt "Voronoi-Kante" (da $R(p)$ konvex)
- $R(p) = \text{Menge aller Pkt.}, \text{die näher an } p \text{ sind als zu}$
jedem anderen $q \in S$
- $p \neq q \Rightarrow R(p) \cap R(q) = \emptyset$ (chiquarkt)

Beispiel für Voronoi-Diagramm:



Bem.: das UD ist eigentlich nur der Graph der V-Knoten und -Kanten. Meist meint man aber eigentlich die Menge $\{R(p_i)\}$.

Der Satz vom nach ausdehnenden Kreis (2D-Version)
 Let $S = \text{set of pts}$
 Sei x ein Pkt, und $C(x)$ ein Kreis (Kugel) um x ,
 der sich langsam ausdehnt. Nun trifft $C(x)$ irgendwann
 zum ersten Mal auf einen oder mehrere Pkte aus S .
 Es gibt 3 Fälle:

1. C trifft auf genau 1 Pkt $p \in S \Leftrightarrow x \in R(p)$

2. ——— 2 Pkte $p_1, p_2 \in S \Leftrightarrow x \in \text{Voronoi-Kante}$
 zwischen $R(p_1)$ und $R(p_2)$

3. C trifft auf 3 oder mehr Pkte $p_1, \dots, p_k \Leftrightarrow$
 x ist ein Voronoi-Knoten zwischen den Regionen $R(p_i)$
 (at most 3, if S in general position)

Bew.:

Fall 1 $\Rightarrow d(x, p) = \min_{q \in S} d(x, q) \stackrel{\text{def}}{\Leftrightarrow} x \in R(p)$

Fall 2 $\Rightarrow x \in B(p_1, q) \subseteq \overline{H(p_1, q)}$ \wedge

$\forall r \neq p_1, q : x \in H(p_1, r) \Rightarrow$

$$x \in \bigcap_{r \neq p_1} \overline{H(p_1, r)} \stackrel{(*)}{=} \bigcap_{r \neq p_1} H(p_1, r) = R_S(p_1)$$

analog folgt $x \in R(q) \Rightarrow x \in R(q) \cap R(p_1)$



*) Normalerweise würde hier nur " \exists " gelten; weil aber alle $H(p_1, r)$ den Pkt p_1 enthalten gilt hier auch " \subseteq ". [s. Klein S. 21]

Fall 3 $\Rightarrow \forall i=1 \dots k : d(x, p_i) = r = \min_{q \in S} d(x, q) \Rightarrow$

$\forall i, j \in \{1 \dots k\} : x \in B(p_i, p_j) \Rightarrow$ Voronoi-Knoten

Das Voronoi-Diagramm ist also eine Klassifizierung aller Pkte in Äquivalenzklassen.

Umformulierung des Satzes vom expandierenden Kreis:

eine Pkt x liegt auf einer V-Kante gdw.

es einen Kreis $C(x)$ gibt, der genau 2 Pkte aus S

berührt und sonst keinen weiteren Pkt aus S enthält.

ein Pkt x ist ein V-Knoten gdw. es einen Kreis $C(x)$
 $\begin{pmatrix} 3 \text{ abr. mehr} \end{pmatrix}$ gibt, der genau 3 Pkte aus S berührt und sonst
keinen weiteren Pkt aus S enthält.

lokale Eigenschaften von $V(S)$

Lemma (Zus. hang zwischen $V(S)$ und $\partial H(S)$):

$R(p)$ ist unbeschränkt $\Leftrightarrow p$ liegt auf dem Rand von $\partial H(S)$

Bew.:

$R(p)$ unbeschränkt $\Rightarrow R(p)$ hat unbeschr. V-Kante e ;

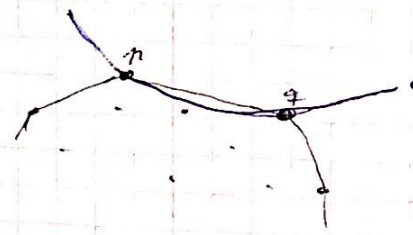
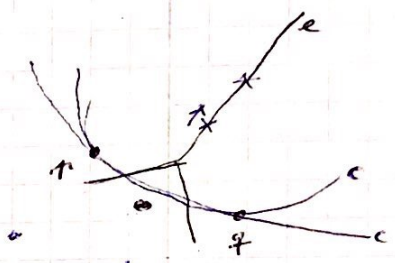
sei q die V-Eite, so daß e zwischen p und q ;

betachte Kreis $C(x)$ durch p und q und x auf e ;

lässe $k \rightarrow \infty$ wandern \Rightarrow das circle segment between p_1, q approaching the line segment \overline{pq} nähert sich einer geraden Strecke an, $C(x)$ enthält aber weiterhin keinen Pkt aus $S \Rightarrow$ def einer Kante der ∂H .

Seien $p, q \in \partial H(S)$ benachbarte Ecken \Rightarrow ex Kreis $C(x)$ durch p, q , der keinen weiteren Pkt aus S enthält, da S endlich;
diesen kann man auch wieder immer größer machen \Rightarrow Bch.

*) und alle Ecke in S in allg. Lage :



Lemma:

$V(S)$ ist immer ein zus. hängender Graph, außer alle Ecke in S liegen auf einer geraden.

Satz (Komplexität des Voronoi-Diagramms):

Das V.-Diagramm über n Punkte in der Ebene hat $O(n)$ viele Knoten, Kanten, und Regionen.

Beweis:

Lässt einen "sehr weit" entfernten Weg von dem VD.

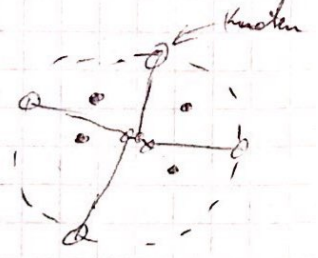
Dadurch werden die unendlichen Kanten zu

endlichen, und man hat genau eine Facette mehr. ~~Bei den Graphen in 3D als~~

einfachen Polyeder an \rightarrow Eulerformel (s. Kap. Konvexe Hülle)

$$V - E + F = 1 \quad (\text{ohne die äußere Facette})$$

\rightarrow weiter wie in CG2 oder Section 4 Konvexe Hülle in 3D



Satz (Komplexität):

Die Konstruktion von $V(S)$ in der Ebene benötigt Zeit $\Omega(n \log n)$.

Beweis:

Reduktion der CH auf $V(S)$.

Man kann in Zeit $O(n)$ aus $V(S)$ die $CH(S)$ ablesen.

